

*6*  
A-43

АКАДЕМИЯ НАУК УКРАИНСКОЙ ССР  
ИНСТИТУТ КИБЕРНЕТИКИ

О.А.Хохель

ИССЛЕДОВАНИЕ И РАЗРАБОТКА  
СИСТЕМЫ АВТОМАТИЧЕСКОЙ СТАБИЛИЗАЦИИ ГЕНЕРАТОРА  
СЛУЧАЙНЫХ ПРОЦЕССОВ

Автореферат

Киев - 1967

ИНСТИТУТ КИБЕРНЕТИКИ АКАДЕМИИ НАУК УССР

О.А. ХОХЕЛЬ

ИССЛЕДОВАНИЕ И РАЗРАБОТКА  
СИСТЕМЫ АВТОМАТИЧЕСКОЙ СТАБИЛИЗАЦИИ ГЕНЕРАТОРА  
СЛУЧАЙНЫХ ПРОЦЕССОВ

Автореферат диссертации на  
соискание ученой степени  
кандидата технических наук

Научный руководитель -  
кандидат технических наук  
В.И.ИВАНЕНКО

Киев - 1967

При построении автоматических систем управления сложными объектами, в частности, объектами промышленной технологии, необходимо учитывать то важное обстоятельство, что эти объекты работают при воздействии ненаблюдаемых случайных возмущений и помех. С целью учета этих возмущений в последнее десятилетие разработаны специальные новые методы синтеза автоматических систем, основанные на математической теории статистических решений и развитые в работах Р.Беллмана, А.А. Фельдбаяма и других ученых. Почти всегда реальные объекты автоматического управления оказываются настолько сложными, что приходится пользоваться приближенными методами синтеза автоматических систем. В этих случаях необходимо уточнять получаемые решения, и поэтому приобретает большое значение моделирование синтезированных автоматических систем.

При исследовании автоматических систем методами моделирования решающее значение имеет качество моделирования случайных возмущений и помех. Одним из важных методов моделирования случайных возмущений и помех является генерирование случайных процессов в помощь физических источников шума.

Однако полученные таким способом случайные процессы обладают существенным недостатком - нестационарностью.

Целью настоящей работы является исследование вопросов стабилизации параметров искусственно генерируемых случайных процессов и разработка автоматических систем стабилизации этих параметров.

Реферируемая работа состоит из введения, четырех глав и двух приложений.

Глава первая является по существу обзорной и содержит сравнительный анализ основных методов генерирования случайных процессов.

Все способы получения случайных процессов делятся на две большие группы в соответствии с используемыми техническими средствами.

К первой группе относятся способы получения моделей случайных возмущений, основанные на применении электронных вычислительных машин и описанные в работах Д.И. Голенко, Н.П. Бусленко и др. авторов. На цифровых вычислительных машинах получение случайных чисел с фиксированным законом распределения представляет собой формирование случайных чисел с помощью некоторого алгоритма - получение так называемых псевдослучайных чисел, обладающих всеми необходимыми свойствами случайных чисел. На аналоговых вычислительных машинах модель случайного процесса можно получить, например, построив генератор полигармонического сигнала со случайными фазовыми сдвигами.

4

Общим недостатком всех способов этой первой группы является периодичность получаемых случайных процессов.

Ко второй группе относятся способы получения случайных возмущений с помощью специальных приборов, использующих физические источники случайных процессов, - генераторов случайных процессов.

Общим недостатком этой группы способов является нестационарность генерируемых случайных процессов.

Требования к генераторам случайных процессов можно сформулировать следующим образом. Случайный процесс должен обладать:

1. Определенным фиксированным законом распределения.
2. Определенной спектральной плотностью в заданном диапазоне частот.
3. Стационарностью.

Получение шума в примыкающем к нулю низкочастотном диапазоне порядка десятков герц и ниже, характерном для большинства объектов промышленной технологии, от физических источников шума практически невозможно, поскольку часть энергии источника, приходящаяся на эту полосу, составляет ничтожную долю общей энергии источника. Применение необходимого усиления в  $10^5$  -  $10^7$  раз неизбежно приводит к искажениям распределения по спектру энергии исходного сигнала, вносит нестационарность и регулярные составляющие в генерируемый случайный процесс.

Основным методом получения низкочастотного шума является выделение с помощью полосового фильтра достаточно разномерного участка спектра шумового источника и последующее преобразование выделенного шума в низкочастотный путем трансформации спектра. Этот метод применен в серийно выпускаемом отечественной промышленностью генераторе низкочастотного шума ГШ-І.

Подобные методы получения случайных процессов не исключают необходимости большого усиления, что приводит к указанным нежелательным явлениям. Для устранения этих явлений с целью улучшения стационарности генерируемого шума в ГШ-І применена схема ШАРУ. Однако такого типа решения не обеспечивают стационарности генерируемого случайного процесса.

Во второй главе анализируются причины, порождающие нестационарность генерируемого процесса и рассматриваются вопросы конструирования некоторых узлов генератора случайных процессов с требуемыми характеристиками.

Общая схема генерирования случайного процесса с произвольным законом распределения и регулируемым спектром состоит из источника шумового напряжения "И", преобразователя вероятностей "ПВ" и формирующего устройства "Ф", показанных на рис. 1.

Источник или генератор "И" шумового напряжения  $\eta(t)$  включает в себя источник шумовой ЭДС, усилители напряжения

и мощности. Преобразователь вероятностей преобразует входное напряжение  $\eta(t)$  с плотностью распределения  $P(\eta)$  в случайное напряжение  $V(t)$  с плотностью распределения  $Q(V)$ . Наконец, для гауссовского шума  $V(t)$  линейный преобразователь "Ф" позволяет получить требуемые характеристики случайного процесса. Нами разработаны блоки формирования спектра гауссовского случайного процесса в диапазоне 0-25 гц и преобразования вероятностей.

Принцип действия преобразователя вероятностей, предложенный Ицхоки, Падуном и Фирсовым, основан на объединении нескольких равновероятных событий из полной группы независимых случайных событий в одно событие с суммарной вероятностью. Предлагаемая в работе техническая реализация этого принципа на основе управляемых логических пороговых элементов делает его возможности при формировании одномерных распределений практически неограниченными.

Исходная полная группа независимых равновероятных случайных событий представляется случайными числами с квазивидимым распределением в интервале / 0 ; 1 /. Генерирование таких чисел сводится к следующему. Используя последовательность случайных величин  $Z_1, Z_2, Z_3, \dots, Z_m$ , равновероятно принимающих одно из двух возможных значений - 0 или 1, формируют  $m$  - разрядное случайное число:

$$C_i = Z_1 \cdot 2^{-1} + Z_2 \cdot 2^{-2} + Z_3 \cdot 2^{-3} + \dots + Z_m \cdot 2^{-m} : /1/$$

Получение случайных величин  $Z_s$  предусматривает использование источников шумовой ЭДС. Если снимать значения случайного напряжения  $\eta(t)$  в достаточно удаленные друг от друга моменты времени  $t_s$ , то получим дискретную последовательность независимых случайных величин  $\eta_s$ . Выбирая некоторый порог  $\alpha$ , величину  $Z_s$  определяем из следующего условия:

$$Z_s = \begin{cases} 1 & \text{при } \eta_s \leq \alpha, \\ 0 & \text{при } \eta_s > \alpha. \end{cases} \quad /2/$$

Обычно применяемые источники шумовых ЭДС генерируют шум с нормальным законом распределения амплитуд.

$$P(\eta_s) = \frac{1}{\sigma\sqrt{2\pi}} \exp\left\{-\frac{(\eta_s - \eta_0)^2}{2\sigma^2}\right\}. \quad /3/$$

В этом случае вероятность  $P$  события  $\eta_s \leq \alpha$  определяется как

$$P(\eta_s \leq \alpha) = \int_{-\infty}^{\alpha} P(\eta) d\eta = f(\eta, \alpha, \eta_0, \sigma), \quad /4/$$

т.е. вероятность получения  $Z_s = 1$  зависит от порога  $\alpha$  и от параметров распределения  $\Theta = \{\eta_0, \sigma\}$  случайного напряжения  $\eta_s$ . Такой способ получения равномерно распределенных случайных чисел применен, например, в генераторе случайных процессов, выпускаемом фирмой SOLARTRON.

Используемые источники шумовых ЭДС разделяются на две группы. К первой относятся газоразрядные и вакуумные

приборы. Они обладают высоким уровнем шума, равномерным спектром в широкой полосе частот и, в большинстве случаев, нормальным распределением амплитуд. Основным недостатком этих источников является нестационарность генерируемого шума  $\eta(t)$ . Ко второй группе относятся источники стационарных шумов, например, термосопротивления. Уровень шума у них очень низок и требует большого усиления, что вносит нестационарность и гармонические составляющие в шум. Блоки "ПВ" и "Ф" нестационарности в формируемый случайный процесс не вносят.

Из этого следует, что точки приложения возмущений, вызывающих нестационарность получаемого в ГСП случайного процесса, находятся в самом источнике "И" шумового напряжения  $\eta(t)$ . Если на выходе блока "И" получить стационарный шум, то на выходе ГСП можно получить требуемый стационарный случайный процесс.

В третьей главе рассматривается задача синтеза автоматической системы стабилизации параметров шума. Предположим, что шум источника обладает простой нестационарностью, выраженной в непредвиденных случайных изменениях параметров его распределения. Для компенсации этих изменений необходима автоматическая система подстройки параметров. Работа такой системы состоит в том, чтобы поддерживать параметры распределения  $\bar{\Theta}_s$  равными определенным значениям  $\bar{\Theta}^*$  в любой момент времени:

$$\bar{\Theta}_s = \bar{\Theta}^*. \quad /5/$$

Будем оценивать качество работы системы функцией потерь  $W_s$  :

$$W_s = W[\bar{\theta}_s, \bar{\theta}^*, s]. \quad /6/$$

Пусть  $\eta_s$  — стационарный центрированный дискретный гауссовский шум. При прохождении каналов передачи и усиления на него действуют возмущения, которые изменяют параметры его распределения  $\bar{\theta}_s$ . Будем рассматривать канал передачи  $G$ , показанный на рис. 2.

Возмущениями здесь являются случайное изменение коэффициента усиления  $Z_2$  множительного звена  $M_3$  и уход нуля  $Z_1$  в суммирующем звене  $\Sigma$ .

Тогда реальный физический процесс представляется в виде

$$\eta_s = \eta_s^* \cdot Z_2 + Z_1, \quad /7/$$

с параметрами

$$m_s = M\{\eta_s\}; \quad \sigma_s = \sigma\{\eta_s\}. \quad /8/$$

Параметры реального случайного процесса оказываются зависимыми от возмущения  $\bar{Z} = \{Z_1, Z_2\}$ . Пусть это возмущение представляет собой кусочно-постоянную функцию времени, принимающую случайные значения  $\mu$  в случайные моменты времени  $\tau$ , распределение которых имеет математическое ожидание  $M\{\tau\} = \tau$ . Из равенств /7/ и /8/ следует, что параметры реального случайного процесса —

$$m_s = Z_1; \quad \sigma_s = \sigma \cdot Z_2. \quad /9/$$

Функция потерь  $W_s$  является случайной величиной и равна

$$W_s = W[m_s, m^*, \sigma_s, \sigma^*, s]. \quad /10/$$

Поэтому оценкой работы системы выберем среднее значение функции потерь — удельный риск  $R_s = M\{W_s\}$ .

Методы теории статистических решений позволяют предложить две системы стабилизации параметров:

1. Оптимальную автоматическую систему, в которой стратегия управления находится из условий минимизации критерия качества системы.

2. Дескриптивную автоматическую систему, в которой стратегия управления постулируется.

Оптимальная система стабилизации определяется из условий минимизации суммарного риска  $R$  :

$$R = \sum_{s=0}^{s=n} R_s. \quad /11/$$

Рассмотрим сначала отдельно задачу управления математическим ожиданием шума  $m_s$ . Для этого пренебрежем действием возмущения  $Z_2$ . Тогда схема управления величиной  $m_s$  может быть представлена на рис. 3.

Уравнение объекта управления  $\Sigma$  имеет вид

$$m_s = v_s + \mu, \quad /12/$$

если положить  $Z_1 = \mu$ .

Уравнение канала обратной связи  $H$  :

$$\eta_s = m_s + \eta_s^*. \quad /13/$$

Функцию потерь определим в виде

$$W_s = (m_s - \bar{m})^2.$$

/14/

А.А.Фельдбаумом показано, что для такого случая

$$\min R = \min \sum_{s=0}^{S-1} R_s = \sum_{s=0}^{S-1} \min R_s; \quad /15/$$

это позволяет определить оптимальную систему из условия минимизации удельного риска. Удельный риск будем определять так:

$$R_s = M\{W_s\} = \int W_s[m_s, \bar{m}] \cdot P(m_s) \cdot dm_s. \quad /16/$$

Следуя теории оптимальных автоматических систем, имеем

$$R_s = \int_{\Omega(U_s, \mu)} W_s[U_s, \mu, \bar{m}] \cdot P_s(\mu) \cdot f_s \cdot d\Omega, \quad /17/$$

где  $f_s$  - стратегия управления:

$$f_s = P(U_s / \vec{U}_{s-1}, \vec{\eta}_{s-1}); \quad /18/$$

$P_s(\mu)$  - апостериорная мера для величины  $\mu$ , определяемая по формуле Байеса:

$$P_s(\mu) = \frac{P_0(\mu) \cdot \prod_{i=0}^{s-1} P(\eta_i / U_i, \mu)}{\int P_0(\mu) \cdot \prod_{i=0}^{s-1} P(\eta_i / U_i, \mu) d\mu}. \quad /19/$$

Отсюда запишем выражение для риска  $R_s$  окончательно так:

$$R_s = \int_{\Omega(U_s, \mu)} W_s[U_s, \mu, \bar{m}] \cdot \frac{P_0(\mu) \cdot \prod_{i=0}^{s-1} P(\eta_i / U_i, \mu) f_s}{\int P_0(\mu) \cdot \prod_{i=0}^{s-1} P(\eta_i / U_i, \mu) d\mu} \cdot d\Omega. \quad /20/$$

Обозначим:

$$\alpha(U_s) = \frac{\int W_s[U_s, \mu, \bar{m}] \cdot \prod_{i=0}^{s-1} P(\eta_i / U_i, \mu)}{\int P_0(\mu) \cdot \prod_{i=0}^{s-1} P(\eta_i / U_i, \mu) d\mu} d\Omega. \quad /21/$$

Риск  $R_s$  минимизируется детерминированной стратегией, которая определяется из минимума функции  $\alpha(U_s)$ .

Априорное распределение  $P_0(\mu)$  примем нормальным:

$$P_0(\mu) = \frac{1}{\sigma \sqrt{2\pi}} \exp\left\{-\frac{(\mu - \mu_0)^2}{2\sigma^2}\right\}; \quad /22/$$

распределение шума  $\eta_i$  известно:

$$P(\eta_i) = \frac{1}{\sigma \sqrt{2\pi}} \exp\left\{-\frac{\eta_i^2}{2\sigma^2}\right\}; \quad /23/$$

а распределение  $\eta_i$  при фиксированных  $\mu$  и  $U_i$  определяется через распределение шума  $\eta_i$  и уравнение объекта управления /12/:

$$P(\eta_i / U_i, \mu) = \frac{1}{\sigma \sqrt{2\pi}} \exp\left\{-\frac{(\eta_i - \mu - U_i)^2}{2\sigma^2}\right\}. \quad /24/$$

Подставляя /14/, /22/ и /24/ в /20/ и минимизируя результат интегрирования по  $U_s$  получим:

$$U_s^* = \bar{m} - \frac{\mu_0 + (\frac{\sigma}{\sigma_0})^2 \sum_{i=0}^{s-1} (\eta_i - U_i)}{1 + (\frac{\sigma}{\sigma_0})^2 \cdot s}. \quad /25/$$

Второе слагаемое в этой формуле представляет собой оценку величины  $\mu$ . Как видно из рис.3, идеальным было бы управление  $U_s^* = \bar{m} - \mu$ , однако измерение  $\mu$  невозможно вследствие наличия шума  $\eta_s$  в канале "Н".

В начале процесса регулирования при малых  $\sigma_s$ , а также при больших значениях  $\sigma_s$  основной вес имеет априорное значение возмущения  $\mu$ .

При значительном накоплении информации, т.е. при большой величине накопленной суммы, выражение /25/ представляется в виде

$$U_s^* \approx m - \frac{\sum_{i=0}^{s-1} (\eta_i - U_i)}{s}, \quad /26/$$

т.е. оценка  $\mu$  сходится к среднему арифметическому значению.

Рассмотрим теперь отдельно задачу регулирования среднеквадратического отклонения  $\sigma_s$  шума  $\eta_s$ . Положим, что действием  $Z_2$  можно пренебречь. Тогда схема управления будет иметь вид, показанный на рис. 4.

Уравнение объекта управления теперь имеет вид

$$\eta_s = U_s \cdot \mu \cdot \dot{\eta}_s, \quad /27/$$

если положить  $Z_2 = \mu$ .

Функцию потерь определим в виде

$$W_s = (\sigma_s - \sigma)^2. \quad /28/$$

Для этой системы равенство /15/ не выполняется. Минимизация суммарного риска /11/, определяющая оптимальную на интервале  $T$  стратегию управления, резко усложняется – имеем стохастическую задачу динамического программирования. Определим здесь только субоптимальное управление, которое будем искать путем минимизации удельного риска:

$$R_s = M\{W_s\} = \int W_s[\sigma_s, \sigma] \cdot P(\sigma_s) \cdot d\sigma_s. \quad /29/$$

Поступая аналогично тому, как в задаче управления математическим ожиданием, находим

$$R_s = \int W_s[U_s, \mu, \dot{\sigma}] \cdot P_s(\mu) \cdot f_s \cdot d\sigma. \quad /30/$$

Априорное распределение для  $\mu$  выберем согласно /22/, а условное распределение  $P(\eta_i/U_i, \mu)$  определяется через уравнение объекта /27/ так:

$$P(\eta_i/U_i, \mu) = \frac{1}{\mu \cdot U_i \cdot \delta \sqrt{2\pi}} \exp \left\{ -\frac{\eta_i^2}{2(\mu \cdot U_i \cdot \delta)^2} \right\}. \quad /31/$$

Подставляя /22/, /28/, /31/ в /30/ и минимизируя полученное выражение по  $U_s$ , определим субоптимальное управление следующим образом:

$$U_s^* = \frac{\int \mu^{s-1} \exp \left\{ -\frac{(\mu - \mu_0)^2}{2\sigma^2} - \frac{1}{2} \sum_{i=0}^{s-1} \frac{\eta_i^2}{(\mu \cdot U_i \cdot \delta)^2} \right\} d\mu}{\int \mu^{s-2} \exp \left\{ -\frac{(\mu - \mu_0)^2}{2\sigma^2} - \frac{1}{2} \sum_{i=0}^{s-1} \frac{\eta_i^2}{(\mu \cdot U_i \cdot \delta)^2} \right\} d\mu} \quad /32/$$

Доказывается, что последовательность оптимальных управлений, определяемых формулой /32/, сходится к величине  $\frac{1}{\mu}$ , т.е.

$$\lim_{s \rightarrow \infty} U_s^* = \frac{1}{\mu}. \quad /33/$$

Это именно то значение управления, которое необходимо, чтобы  $\sigma_s = \sigma$ .

Идея доказательства состоит в замене отношения интегралов /32/ отношением их главных значений путем предельного перехода и последующем определении величины

предела этого отношения при устремлении числа шагов регулирования к бесконечности.

Путем моделирования на цифровой вычислительной машине были построены процессы стабилизации дисперсии. Результаты моделирования для двух различных значений возмущения приведены на рис. 5.

Видно, что последовательность оптимальных управлений быстро сходится к своему предельному значению. Можно утверждать, что практически достаточно хорошее качество процесса регулирования достигается даже в простейшей субоптимальной системе. В то же время сложность полученных субоптимальных стратегий управления исключает возможность их технической реализации в таком сравнительно небольшом приборе, как генератор случайных процессов.

В четвертой главе рассматривается система стабилизации параметров шума в какой-то мере близкая к оптимальной, но отличающаяся простотой, а, значит, и реализуемостью стратегий управления.

Введем в канал передачи шума  $\eta_i$  управляемое звено  $K$  и рассмотрим блок-схему, показанную на рис. 6. На реальный случайный процесс  $\eta_i$  в  $K$  должны действовать такие управляющие воздействия  $U_s^m$  и  $U_s^b$ , чтобы его параметры на выходе звена  $K$  стали равными требуемым значениям.

Уравнение объекта управления в этой системе имеет вид

$$\eta_{i\text{,req}} = (\eta_i + U_s^m) U_s^b, \quad /34/$$

где  $\eta_i$  определяется формулой / 7 /.

Функцию потерь определим так:

$$W_s = T_s \cdot [ |m_s - \bar{m}| \cdot a + |\tilde{\sigma}_s - \bar{\sigma}| \cdot b ], \quad /36/$$

где  $a$  и  $b$  — положительные константы.

Такой выбор функции потерь объясняется тем, что на интервале наблюдения  $T_s$  "некачественный" шум  $\eta_i$  продолжает поступать на выход.

Алгоритм работы такой системы рассчленим на две части:

1/ алгоритм измерения или оценки параметров распределения шума;

2/ алгоритм выбора управления или принятия решения об управлении.

Качество работы системы определяется свойствами обеих частей алгоритма, причем выбор одной из них влияет на выбор другой.

Основным в работе системы является алгоритм оценки параметров. В качестве алгоритма оценки параметров выбран алгоритм последовательных наблюдений Вальда, минимизирующий время наблюдения  $T_s$ . На основании наблюдавшихся статистик выносится решение  $A_s$  для каждого параметра шума  $\eta_i$  о справедливости одной из трех гипотез:

I. Параметр равен требуемой величине —  $H_0$ ,

II. Параметр больше требуемой величины —  $H_+$ ,

III. Параметр меньше требуемой величины —  $H_-$ .

При принятии решений здесь возможны 9 ситуаций, из которых лишь в трех будут приняты верные решения. В теории

проверки статистических гипотез подробно рассмотрена лишь задача, в которой параметр принимает лишь два значения. Заменим одну задачу различия трех гипотез двумя задачами различия двух гипотез:

- I - параметр равен требуемой величине -  $H_0$   
и параметр больше требуемой величины -  $H_+$ ,
- II - параметр равен требуемой величине -  $H_0$   
и параметр меньше требуемой величины -  $H_-$ .

При совместном различении гипотез  $H_0$ ,  $H_+$  и  $H_-$  вероятности ошибок второго рода мало изменяются и их можно считать равными  $\beta$ , а вероятность ошибки первого рода в наихудшем случае возрастет вдвое, и ее надо считать равной  $2\alpha$ .

В качестве алгоритма принятия решения об управлении по найденной оценке выбран простейший алгоритм соответствия:

$$\begin{aligned} \text{при } H_0 \quad U_s &= U_{s-t}, \\ \text{" } H_+ \quad U_s &= U_{s-t} - 1, \\ \text{" } H_- \quad U_s &= U_{s-t} + 1. \end{aligned}$$

Аналитическое исследование автоматической системы стабилизации параметров шума, основанной на различении статистических гипотез с величине параметров, показали, что система устойчива и физически осуществима.

В случае стабилизации математического ожидания шума  $m_s$  задачу различения трех гипотез можно заменить одной задачей различения двух гипотез. Следуя последовательной методике проверки гипотез, получаем, что работа системы сводится к непрерывной проверке следующих неравенств:

$$a_n = \frac{6}{8}(\ln B + \ln 2) + n \frac{\delta^2}{2} < \left| \sum_{i=1}^n \eta_i \right| < \frac{6}{8}(\ln A + \ln 2) + n \frac{\delta^2}{2} : r_n, \quad /36/$$

где

$$\delta = \left| \frac{m_s - \bar{m}}{\sigma} \right|; \quad B = \frac{\beta}{1-\alpha}; \quad A = \frac{1-\beta}{\alpha}. \quad /37/$$

В случае, если  $\left| \sum_{i=1}^n \eta_i \right| \leq a_n$ , то принимается гипотеза  $H_0$ .

В случае, если  $\left| \sum_{i=1}^n \eta_i \right| \geq r_n$ , то гипотеза  $H_0$  отклоняется, а принятие гипотез  $H_+$  или  $H_-$  определяется "знаком" последнего наблюдаемого значения:

$$\text{sign } \eta_n = \text{sign}(\eta_n - \bar{m}) \quad /38/$$

В случае выполнения неравенства / 36 / требуется произвести еще одно наблюдение.

Величины  $a_n$  и  $r_n$  представляют собой параллельные прямые.

В случае стабилизации среднеквадратического отклонения задачу различения трех гипотез заменим двумя задачами различия двух гипотез. Следуя последовательной методике, получаем, что работа системы сводится к непрерывной проверке двух систем неравенств, соответствующих двум задачам различия гипотез.

Для первой задачи имеем:

$$a_m = \frac{2 \ln B}{\frac{1}{\sigma_1^2} - \frac{1}{\sigma_2^2}} + m \cdot \frac{\ln(\frac{\sigma_1}{\sigma_2})^2}{\frac{1}{\sigma_2^2} - \frac{1}{\sigma_1^2}} < \sum_{i=1}^m \eta_i^2 < \frac{2 \ln A}{\frac{1}{\sigma_1^2} - \frac{1}{\sigma_2^2}} + m \cdot \frac{\ln(\frac{\sigma_1}{\sigma_2})^2}{\frac{1}{\sigma_2^2} - \frac{1}{\sigma_1^2}} : r_m, \quad /39/$$

где  $\bar{\sigma}_1 > \bar{\sigma}_2$  определяют зону безразличия, а

$$\beta = \frac{\beta}{1-2\alpha}; A = \frac{1-\beta}{2\alpha}.$$

/40/

Для второй задачи имеем:

$$a_m' = \frac{2\ln B}{\bar{\sigma}_1'^2 - \bar{\sigma}_2'^2} + m \cdot \frac{\ln(\frac{\bar{\sigma}_2'}{\bar{\sigma}_1'})^2}{\bar{\sigma}_1'^2 - \bar{\sigma}_2'^2} < \sum_{i=1}^{i=m} \eta_i^2 < \frac{2\ln A}{\bar{\sigma}_1'^2 - \bar{\sigma}_2'^2} + m \cdot \frac{\ln(\frac{\bar{\sigma}_1'}{\bar{\sigma}_2'})^2}{\bar{\sigma}_1'^2 - \bar{\sigma}_2'^2} = r_m'/41/$$

где  $\bar{\sigma}_1' > \bar{\sigma}_2'$  определяют зону безразличия для второй задачи различия.

Правые и левые части неравенств / 39 / и / 41 / представляют собой попарно параллельные прямые с различными свободными членами.

В случае, если  $\sum_{i=1}^{i=m} \eta_i^2 \geq a_m'$  и  $\sum_{i=1}^{i=m} \eta_i^2 \leq r_m'$ , принимается гипотеза  $H_0$ , если  $\sum_{i=1}^{i=m} \eta_i^2 \geq r_m'$ , принимается гипотеза  $H_+$ , и если  $\sum_{i=1}^{i=m} \eta_i^2 \leq a_m'$ , принимается гипотеза  $H_-$ . В случае, если выполняются неравенства / 39 / и / 41 / требуется произвести еще одно наблюдение.

Величины  $\dot{m}$ ,  $\dot{\sigma}$ ,  $\delta$ ,  $\bar{\sigma}_1$ ,  $\bar{\sigma}_2$ ,  $\bar{\sigma}'$  и  $\bar{\sigma}_2'$  определяются техническими требованиями.

Путем моделирования на цифровой вычислительной машине изучены процессы регулирования для случая стабилизации среднеквадратического отклонения. Для удобства сравнения с субоптимальной системой обе системы при моделировании ставились в одинаковые условия. При единичном скачке возмущения  $M = +1$  видно, что дескриптивная система близка к оптимальной. Результаты трех расчетов показаны на рис. 7.

20

Система стабилизации обоих параметров шума обладает связью между контурами управления математическим ожиданием и среднеквадратическим отклонением, которая проявляется как через измерительную часть системы, так и через объект управления. Анализ работы системы показывает, что связь через измерительную часть системы можно пренебречь, а одностороннее влияние управления дисперсией на величину математического ожидания через объект управления приводит лишь к некоторому удлинению переходного процесса в контуре управления математическим ожиданием.

На основе изложенных исследований была построена автоматическая система стабилизации параметров случайного гауссовского шума, описанная в приложении II. Экспериментально полученные процессы регулирования в этой системе приведены на рис. 8.

В приложении I найдено распределение числа наблюдений при проверке статистических гипотез последовательным методом.

В заключение кратко резюмируем полученные результаты.

1. Существующие методы подавления нестационарности генерируемых случайных процессов разделяются на две категории: а/ параметрические методы подавления нестационарности и б/ методы подавления нестационарности с помощью обратных связей. В работе рассматриваются методы стабилизации параметров искусственно генерируемых случайных процессов с помощью обратных связей.

Построена модель генератора случайных процессов как объекта автоматического управления; на основе этого поставлена задача синтеза оптимальной в смысле минимума удельного риска автоматической системы управления параметрами генерируемого случайного процесса.

2. Методами теории статистических решений определена оптимальная автоматическая система управления отдельно математическим ожиданием и дисперсией случайного процесса. Доказана сходимость процесса регулирования дисперсии.

3. Получена оптимальная стратегия управления при связанным регулировании математического ожидания и дисперсии. Доказано, что сходимость в этой системе является следствием сходимости в системе регулирования дисперсии. Путем моделирования на электронной цифровой вычислительной машине рассчитаны процессы регулирования в наиболее сложном случае - при управлении дисперсией.

4. Предложена упрощенная по отношению к оптимальной /дескриптивная/ автоматическая система стабилизации параметров, в основу которой положен последовательный наблюдатель Вальда и релейное управление. Путем сравнения систем, использующих различные алгоритмы наблюдения, показано, что система с последовательным наблюдателем Вальда лучше, так как в ней минимизируется при том же релейном управлении время наблюдения, т.е. минимизируется принятая функция потерь.

5. Показано, что предложенная автоматическая система управления генератором случайных процессов является устойчивой и физически осуществимой. При этом случайные значения  $\eta$ , на выходе системы остаются независимыми, что существенно упрощает систему управления и ее реализацию. В приложении II этот вывод подтвержден экспериментально.

6. Анализ системы связного управления обоими статистическими параметрами случайного процесса показывает, что связь между контурами управления математическим ожиданием и дисперсией проявляется как через измерительные части системы, так и через объект управления. Показано, что связью через измерительную часть системы можно пренебречь, а одностороннее влияние управления дисперсией на величину математического ожидания приводит к некоторому удлинению переходного процесса в контуре регулирования математического ожидания.

7. Путем сравнительного исследования оптимальной и дескриптивной автоматических систем показано, что дескриптивная автоматическая система по качеству процессов управления достаточно близка к оптимальной и, в то же время, в отличие от оптимальной реализуется достаточно простыми техническими средствами.

8. На основе проведенных исследований построен генератор стационарного шума с автоматической стабилизацией параметров, предназначенный для моделирования случайных возмущений и помех в автоматических системах.

Этот генератор применяется в цифроаналоговом комплексе, разработанном в Институте кибернетики АН УССР, и в испытательной установке для проверки усталостной прочности металлических конструкций.

Основные материалы диссертации опубликованы в следующих работах:

1. Ф.В. Зворыгин, В.М. Томашов, О.А.Хохель, Генератор случайных напряжений инфракраских частот с любым законом распределения и регулируемым спектром, Автоматика и приборостроение, № 4, 1964.

2. В.И.Дворцин, О.А.Хохель, Формирование произвольного закона распределения вероятностей в генераторе случайных процессов, Автоматика, № 4, Киев, 1966.

3. О.А.Хохель, Краткий обзор методов генерирования случайных процессов, Автоматика, № 2, Киев, 1967.

4. В.И.Иваненко, О.Л.Хохель, Задачи стабилизации искусственно генерируемых случайных процессов, Труды ИФАК, Прага, июнь 1967.

5. О.А.Хохель, Автоматическая стабилизация параметров распределения случайного процесса, Реферат, I Всесоюзный симпозиум по статистическим проблемам в технической кибернетике, Москва, февраль 1967.

6. О.А.Хохель, Некоторые вопросы автоматической стабилизации параметров шума, Автоматика, Киев, 1967 /в печати/.

7. О.А.Хохель, О законе распределения числа наблюдений при проверке статистических гипотез последовательным методом, Кибернетика, 1967 /в печати/.

Результаты работы регулярно обсуждались на семинаре "Адаптивные системы управления" Института кибернетики АН УССР и докладывались на:

1. IV Всесоюзной конференции-семинаре по теории и методам математического моделирования, 19-23 мая 1964 г., г.Киев.

2. Республиканском семинаре по автоматическому управлению при Совете по кибернетике АН УССР, 9 января 1967 г., Киев.

3. III научно-технической конференции по итогам выполненных работ в 1966 г., 8-II февраля 1967 г., г.Киев.

4. I Всесоюзном симпозиуме по статистическим проблемам в технической кибернетике, 14-18 февраля 1967 г., г.Москва.

Доклад по результатам реферируемой работы включен в повестку дня симпозиума ИФАК по проблемам идентификации в системах автоматического управления, который состоится в июне 1967 г., г. Прага, ЧССР.

Рис.3.

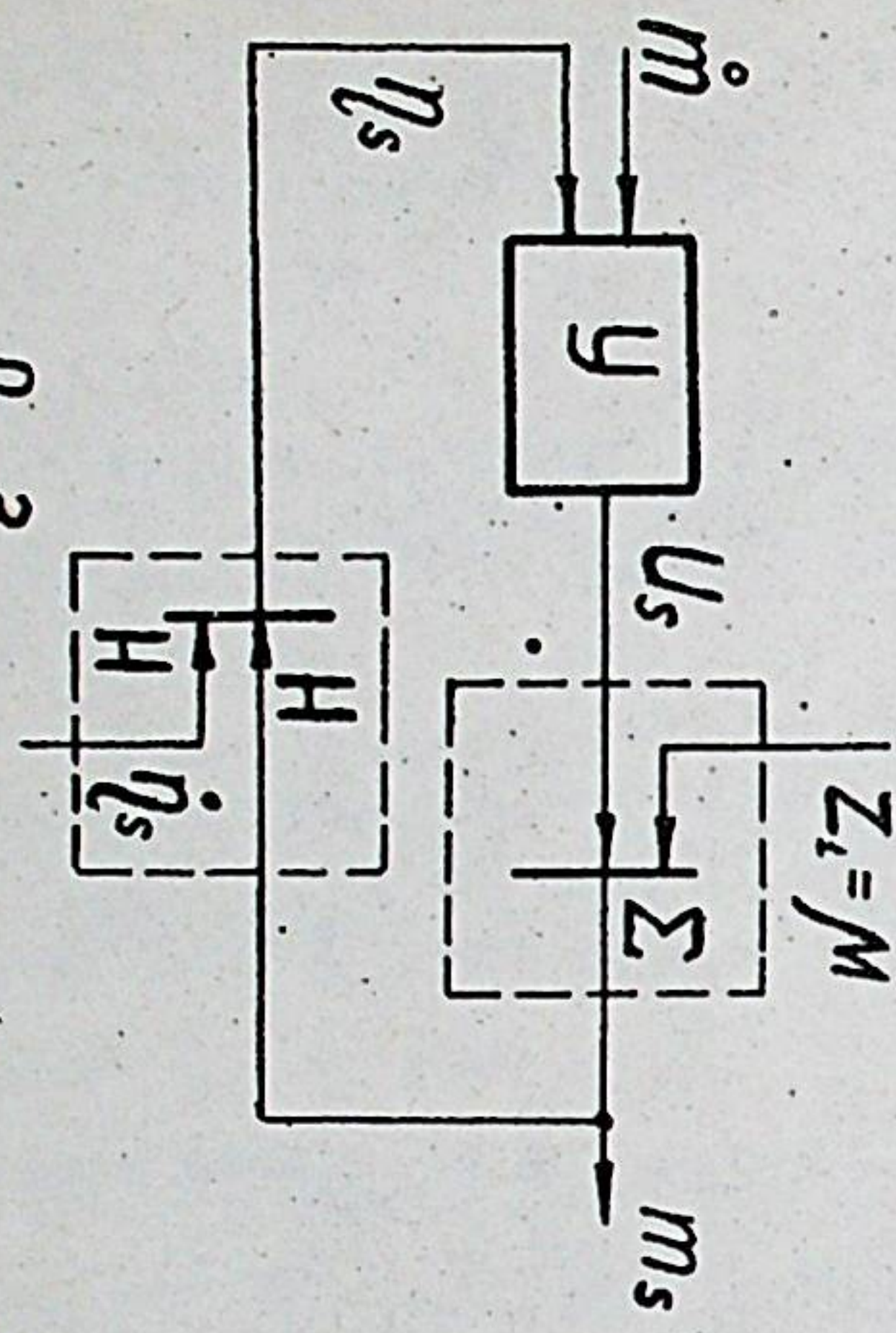
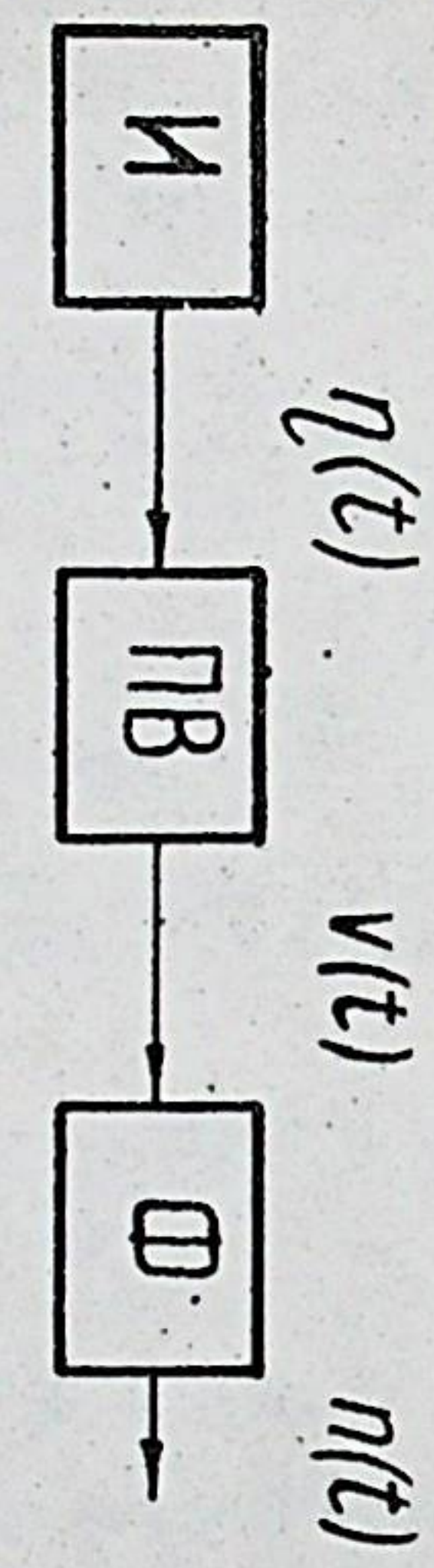


Рис.1



$\eta(t)$        $v(t)$        $\eta(t)$

Рис.4

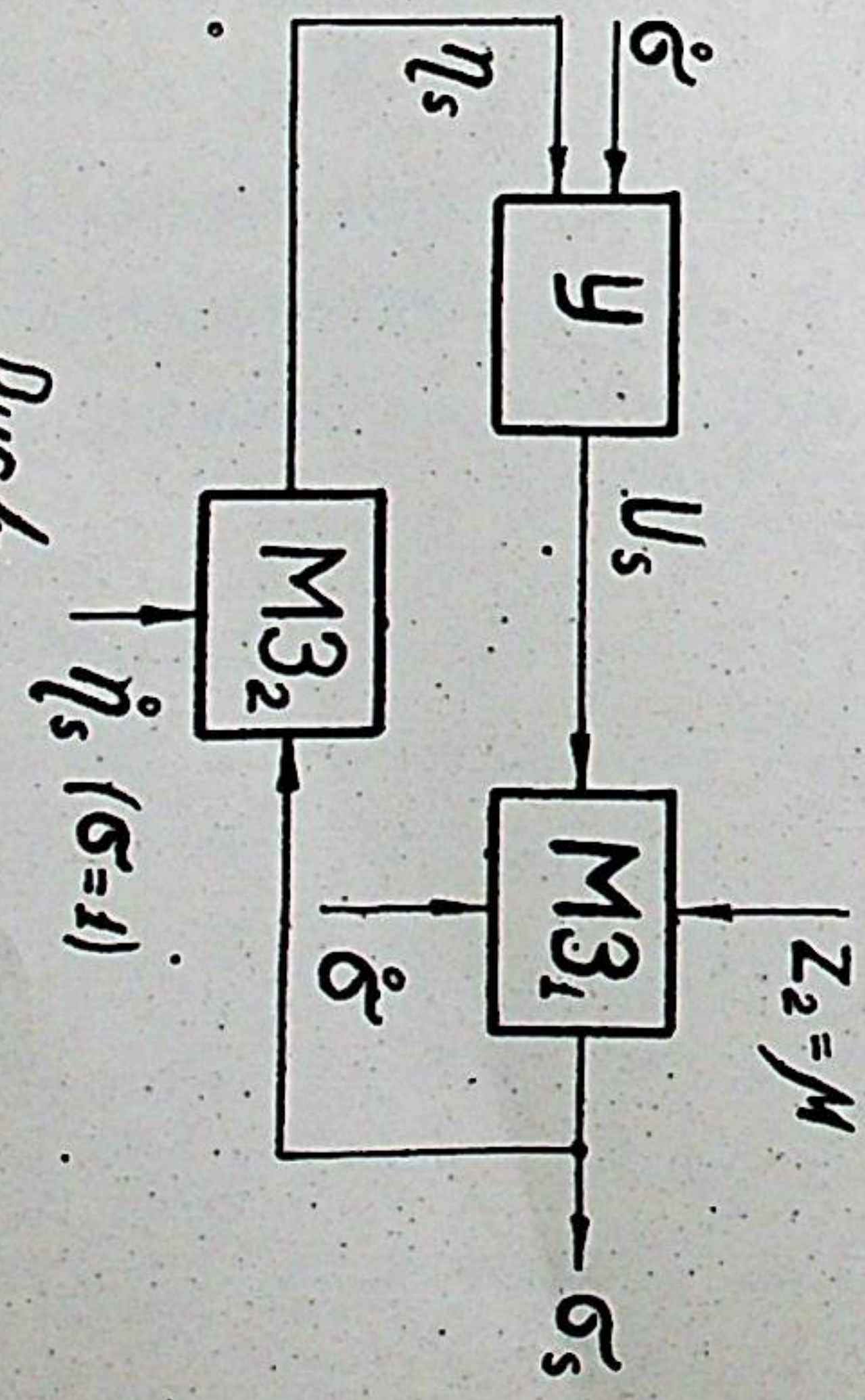
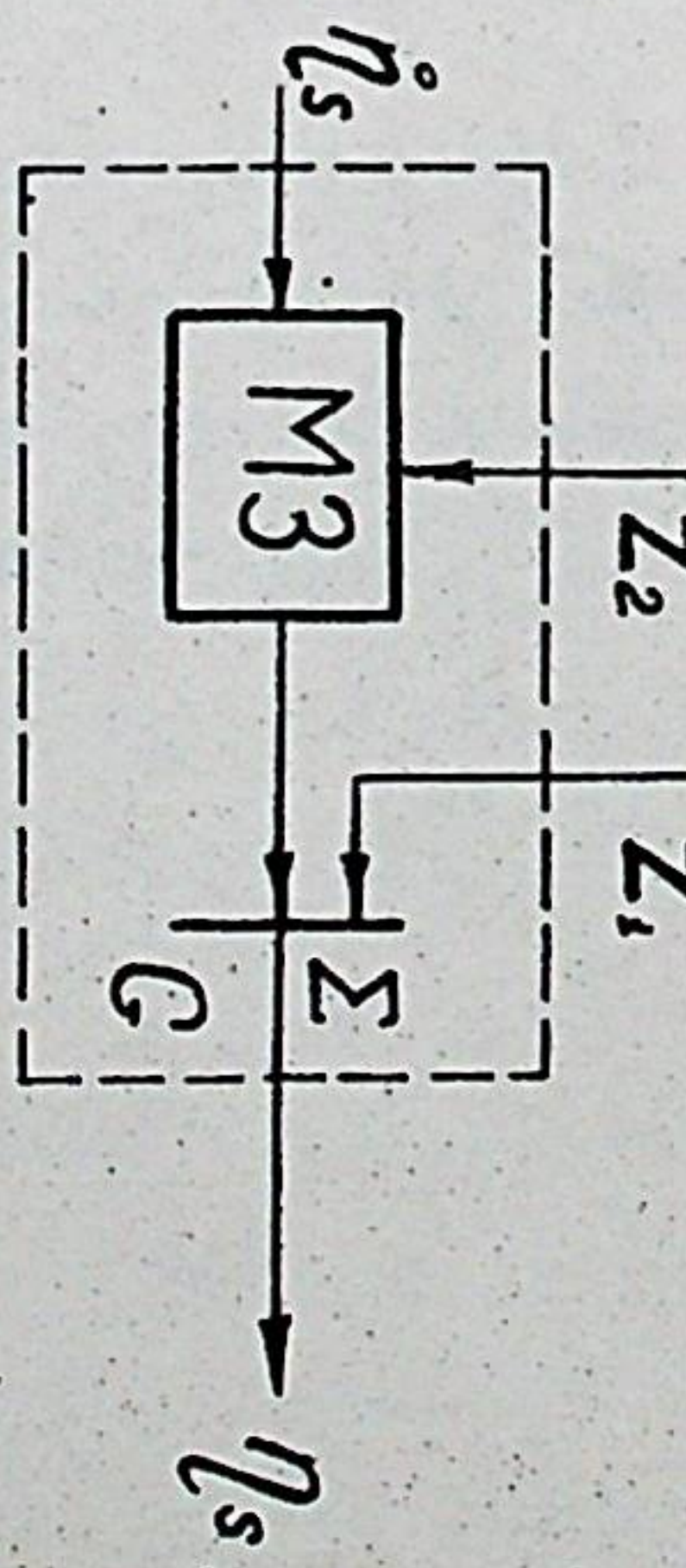


Рис.2.



$\eta_s$        $Z$        $\eta_s$



Рис.5

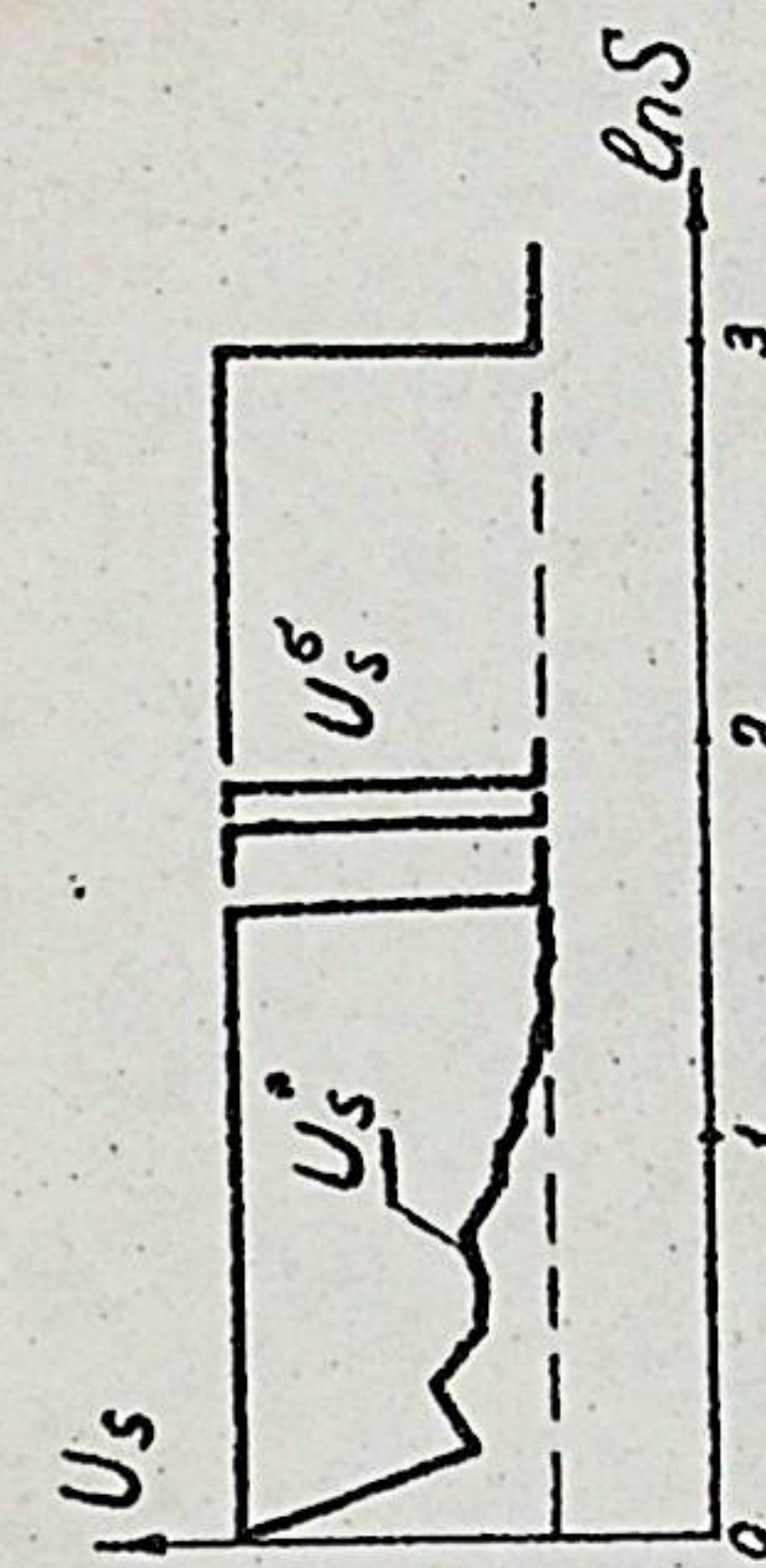
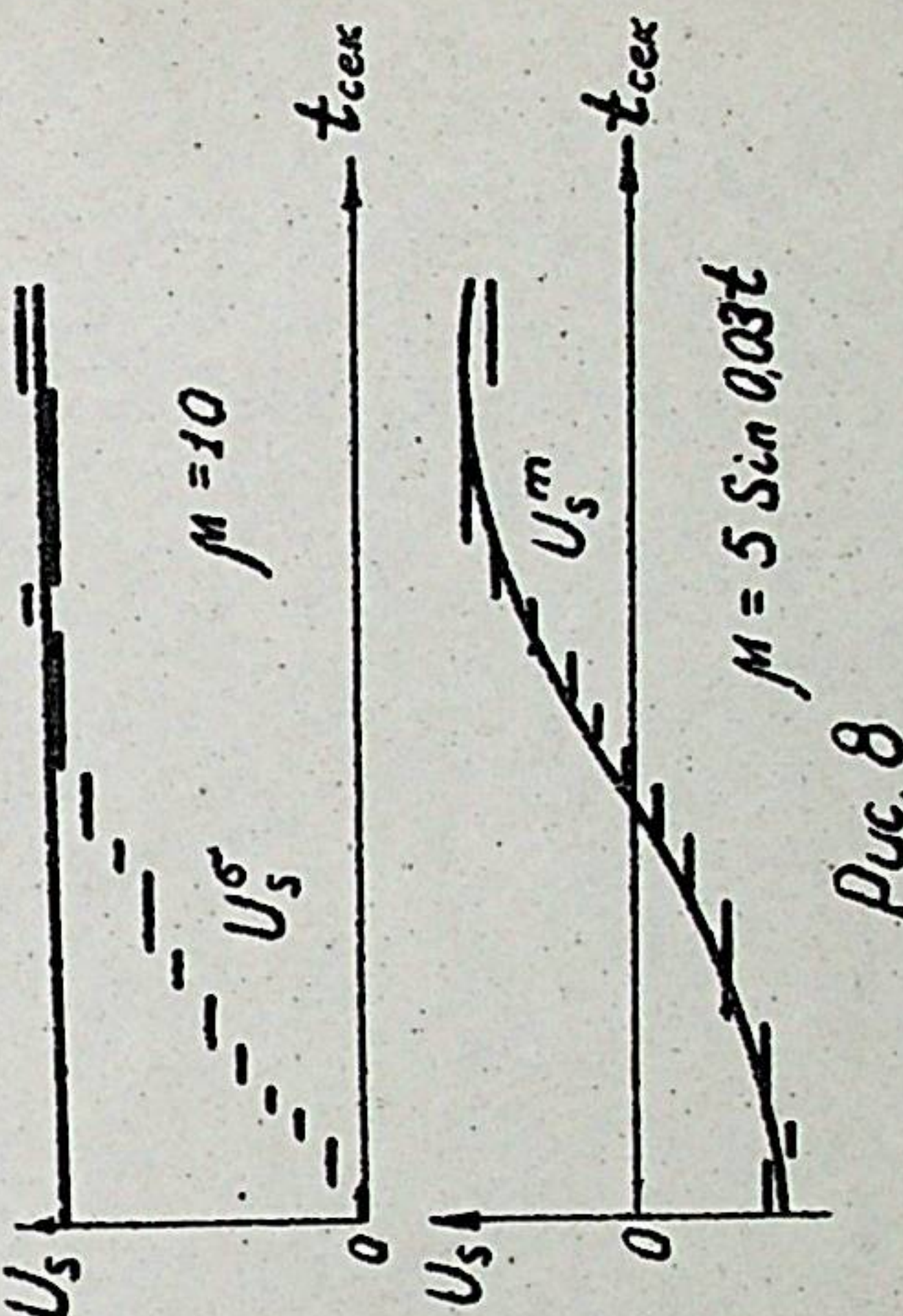


Рис.7



$\mu = 5 \sin 0.002t$

Рис.8

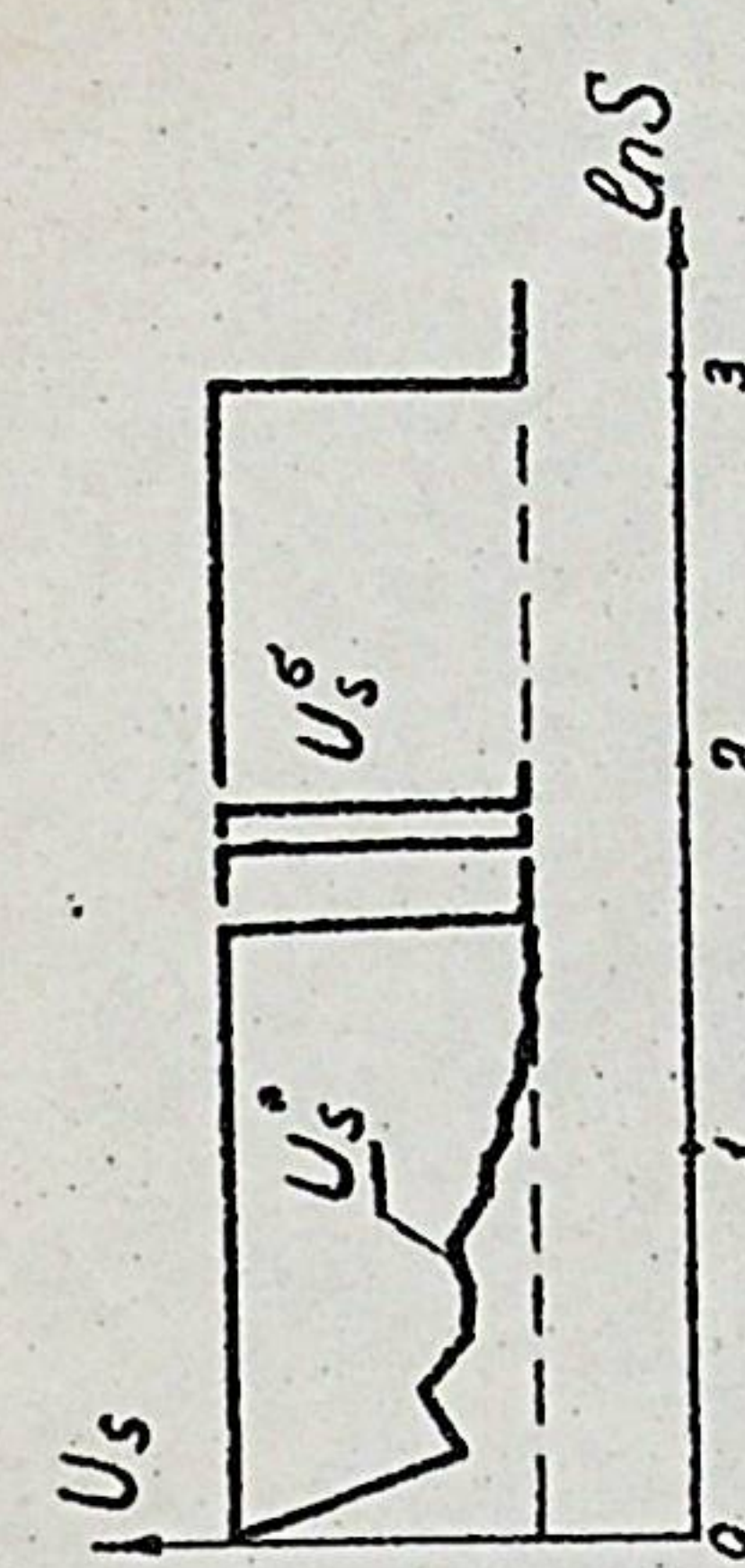


Рис.7

Рис.8

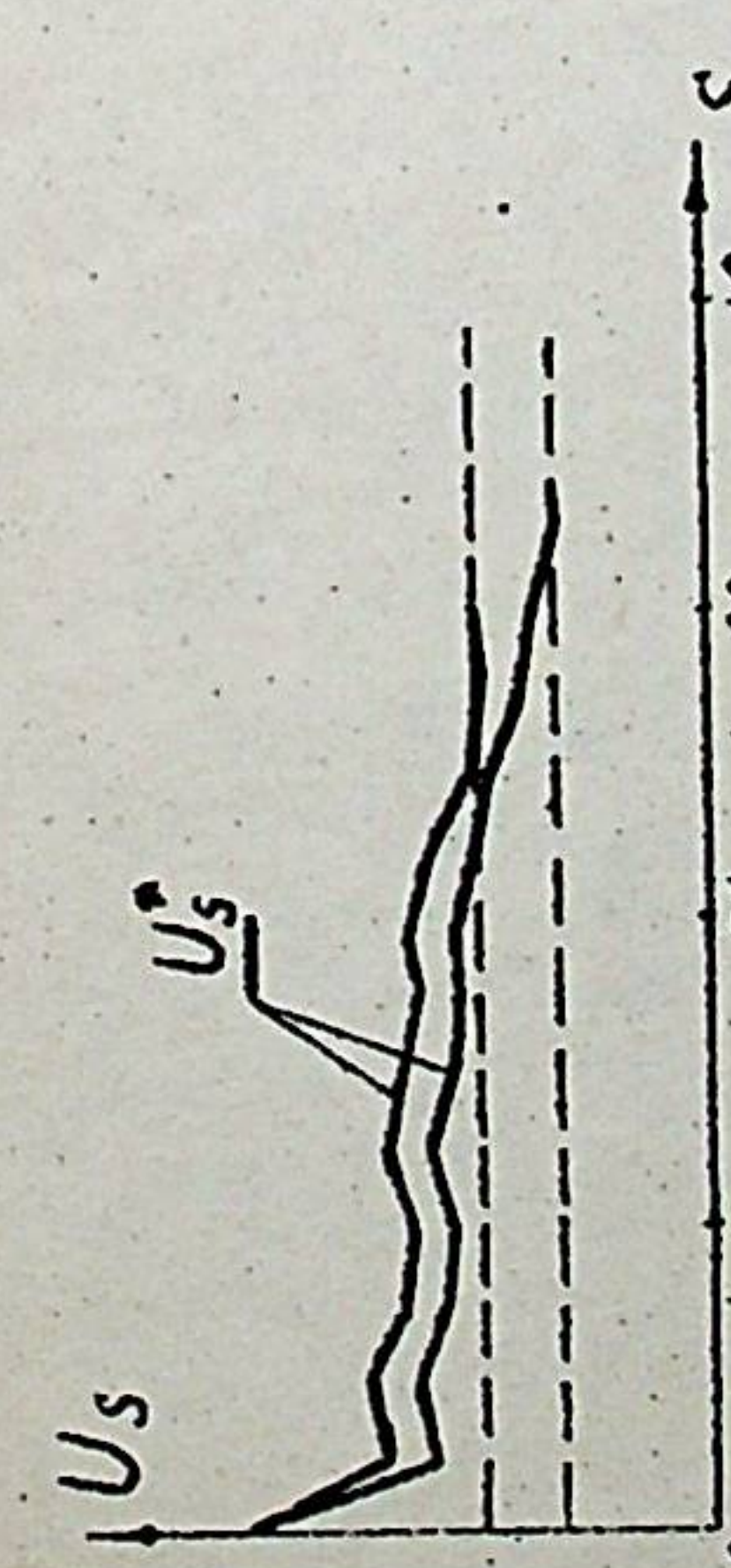


Рис.5

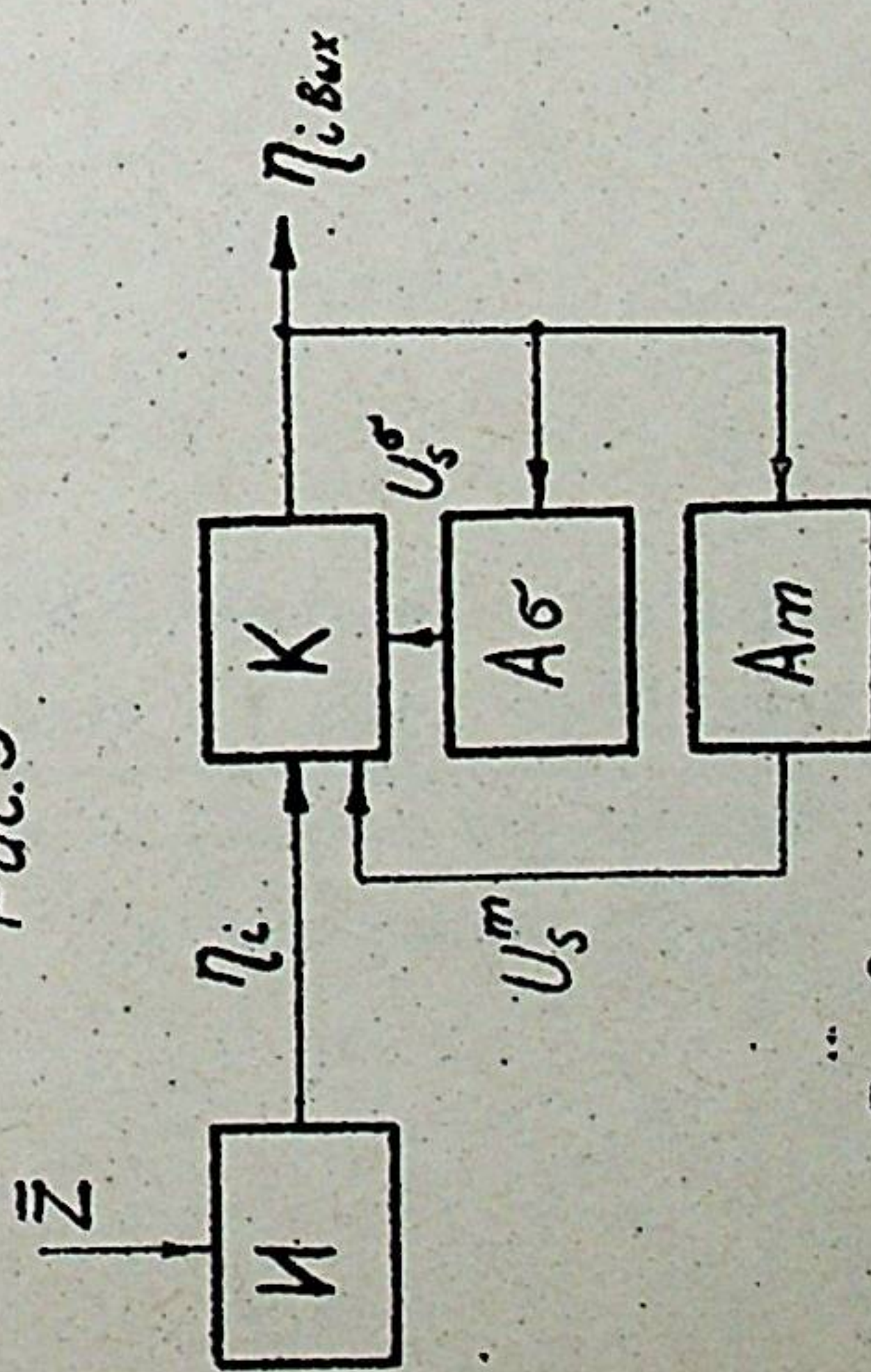


Рис.6